

19/VIII - 6.9

А-928
ОБЪЕДИНЕННЫЙ
ИНСТИТУТ
ЯДЕРНЫХ
ИССЛЕДОВАНИЙ

Дубна.



P6 - 4599

Р.Арльт, Г.Байер, Г.Музиоль, Л.К.Пекер,
Г.Пфреппер, Х.Штрусный

Математика и ядерных процессов

ИССЛЕДОВАНИЕ СХЕМ РАСПАДА
КОРОТКОЖИВУЩИХ НЕЙТРОНОДЕФИЦИТНЫХ
ИЗОТОПОВ САМАРИЯ И ПРОМЕТИЯ;
НОВЫЙ ИЗОТОП ^{141}Sm

1969

P6 - 4599

Р.Арльт, Г.Байер, Г.Музиоль, Л.К.Пекер,
Г.Пфраппер, Х.Штрусный

**ИССЛЕДОВАНИЕ СХЕМ РАСПАДА
КОРОТКОЖИВУЩИХ НЕЙТРОНОДЕФИЦИТНЫХ
ИЗОТОПОВ САМАРИЯ И ПРОМЕТИЯ;
НОВЫЙ ИЗОТОП ^{141}Sm**

Направлено в Известия АН СССР

1. Введение

В работе ^{/1/} были открыты два новых коротковивущих изотопа самария с массовыми числами 140 и 141 способом многократных выделений дочерних изобар неодима. Периоды полураспада, составляющие 13,7 и 22,5 мин, соответственно, были определены в работе ^{/1/} путем измерения периодов полураспада дочерних изобар и экстраполяции полученных кривых на момент выделения.

Кроме значений периода полураспада ¹⁴⁰Sm и ¹⁴¹Sm других сведений об этих нуклидах не было. Поэтому мы решили более подробно исследовать их распад. Так как в радиоактивных источниках, кроме ¹⁴⁰Sm и ¹⁴¹Sm, содержался также ¹⁴²Sm, находящийся в радиоактивном равновесии с ¹⁴²Pm, мы исследовали также распад цепочки ¹⁴²Sm $\xrightarrow{73\text{мин}}$ ¹⁴²Pm $\xrightarrow{40\text{сек}}$ ¹⁴²Nd.

Первые результаты исследования распада изотопов ¹⁴¹Sm и ¹⁴²Pm опубликованы нами в работах ^{/2,3/}.

2. Экспериментальная методика

2.1. Получение изотопов ¹⁴⁰Sm и ¹⁴¹Sm

Для получения этих изотопов были применены два различных типа мишеней и химической методики обработки. Первый способ с исполь-

зованием мишени из фталоцианина диспрозия подробно описан в работе /3/. Второй метод /4/, применяющийся для выделения фракции самария, более быстрый: препараты самария выделялись через 12–15 мин после конца облучения. Облучение проводилось на внешнем пучке протонов синхроциклотрона ОИЯИ с энергией 660 Мэв. Порошкообразная мишень в виде комплекса $(\text{NH}_4)_2[\text{Dy} - \text{ДТПА}]^{x/}$ весом $(0,5 \pm 1)$ г облучалась (10 ± 25) мин. Для транспортировки мишени применялась пневматическая почта /5/. После прибытия в химическую лабораторию мишень растворялась в воде с расчетом 25 мл на 1 г мишени. Редкоземельные продукты реакций, выходящие из комплекса вследствие эффекта Сцилларда-Чалмерса в виде P^{3+} – ионов, сорбировались прибавленным сразу же после растворения катионитом Дауэкс 50 x 8 в NH_4 – форме (≈ 10 мг) с величиной зерна 12 мк. Остальные операции те же, что и в случае работы с фталоцианинами.

Помимо более быстрого разделения продуктов реакций этот метод обладает еще одним преимуществом. Вследствие значительно большей радиационной устойчивости комплекса ДТПА по сравнению с комплексом фталоцианина и приблизительно в три раза большим выходом продуктов реакций из такой мишени получаются гораздо более интенсивные препараты.

Для измерения гамма-спектров применялись жидкие источники объемом 0,1 мл в цилиндрических сосудах из плексигласа. Для измерения позитронного излучения были изготовлены жидкие источники радиусом 5 мм и толщиной около 50 mg/cm^2 на алюминиевой подложке толщиной 2 mg/cm^2 . Гавномерная толщина источника достигалась добавкой веществ для понижения поверхностного натяжения жидкости. Источники без носителя для измерения конверсионных электронов изготавливались

^{x/} ДТПА – диэтилентриаминпентакускусная кислота.

методом испарения одной капли из фракции самария на алюминиевую подложку толщиной 2 мг/см².

2.2. Получение изотопов ^{142}Sm и ^{142}Pm .

Самариевая фракция для выделения этих изотопов была получена при облучении мишенией из Gd или Er на внутреннем пучке протонов с энергией 680 Мэв синхроциклотрона ОИЯИ и хроматографического разделения продуктов реакции глубокого расщепления через 2-2,5 часа после конца облучения. Непрерывное выделение коруткоживущих дочерних продуктов осуществлялось с помощью эффекта Сцилларда-Чалмерса на комплексах фталоцианина.

Синтез комплекса и проточный метод для измерения гамма-спектра ^{142}Pm описаны в работе /3/.

Точное значение периода полураспада ^{142}Pm $\tau_{1/2} = (40,5 \pm 0,5)$ сек определялось при помощи новой методики /4/ на основе комплекса ДТПА.

2.3. Измерительная аппаратура

Измерение гамма-спектра проводилось на Ge(Li)-детекторе с чувствительным объемом 6,3 см³ и энергетическим разрешением $\approx 4,2$ кэв для гамма-перехода с энергией 1333 кэв. Высокое энергетическое разрешение спектрометра сохранилось вследствие специального формирования импульсов в спектрометрическом тракте при работе с высокой загрузкой /6/. Период полураспада нескольких гамма-переходов измерялся на этом же спектрометре при помощи автоматического режима измерения и вывода информации /7/. Регистрирующая техника описана в работе /8/.

Для точного измерения спада интенсивности наиболее интенсивного гамма-перехода с энергией 198 кэв применялся сцинтилляционный спектрометр с кристаллом типа NaJ(Tl), размером 7,5 x 7,5 см и

энергетическим разрешением 11% для гамма-перехода ^{137}Cs с энергией 662 кэв.

При измерении высокоэнергетической части гамма-спектра применялся фильтр (3 мм Pb, 1 мм Cd, 1 мм Cu). Для поглощения интенсивного позитронного излучения перед детектором применялся плексигласовый поглотитель толщиной 10 мм.

Гамма-спектрометр был градуирован по энергии с помощью калибровочных препаратов ^{60}Co и ^{226}Ra . Последний и препарат ^{169}Yb применялись также для градуировки эффективности регистрации гамма-лучей спектрометра с свинцовым поглотителем и без него, соответственно.

Измерение конверсионных электронов проводилось на $\text{Si}(\text{Li})$ -детекторе с чувствительным слоем толщиной 1,2 мм и площадью 72mm^2 . Детектор находился в вакуумной камере. При оптимальной температуре -65°C энергетическое разрешение детектора составляло ≈ 9 кэв для конверсионных электронов ^{137}Cs с энергией 625 кэв. Препарат вводился в положение измерения через вакуумный шлюз за 30 сек. Для градуировки спектрометра применялись калибровочные источники ^{207}Bi , ^{137}Cs и ^{203}Hg .

β^+ -спектр был измерен с помощью антраценового кристалла размером 20×20 мм при энергетическом разрешении 14–15% для конверсионных электронов ^{137}Cs . Для градуировки применялись те же источники, что и в случае $\text{Si}(\text{Li})$ -детектора и источники ^{137}Cs , ^{90}Sr , а также гозитронный спектр, возникающий при распаде ^{142}Pm .

Измерение гамма-гамма-совпадений проводилось на установке, состоящей из описанного выше $\text{Ge}(\text{Li})$ -детектора и детектора типа $\text{NaJ}(\text{Tl})$ размером 4×4 см в геометрии 180° . Спектр совпадений

^{x/} $\text{Si}(\text{Li})$ -детектор был изготовлен в ЦИЯИ в Россendorфе близ Дрездена в ГДР.

был записан в память анализатора АИ-4096, работавшего в двухмерном режиме 16×256 каналов. Анализатор управлялся схемой быстро-медленных совпадений. Для измерения быстрых совпадений служил блок преобразователя времени-амплитуда с одноканальным дискриминатором. Временные сигналы снимались на аноде ФЭУ и на выходе предусилителя Ge(Li) -детектора и подавались после усиления и формирования как старт- и стоп-сигналы на блок преобразователя. Полуширина кривой совпадений, измеренной на препарате ^{22}Na (при этом для регистрации совпадений допускались все энергии), составляла 17 нсек. Нижний предел энергий для регистрации совпадений без потери составлял 70 кэв, где $2\tau_0 \approx 40$ нсек.

Препараты, использованные при измерении совпадений, были изгото-
влены методом испарения на медные подложки и находились во время
измерения для предотвращения рассеяния квантов в детекторы в свин-
цовом коллиматоре.

Для измерения совпадений между гамма-квантами и аннигиляцион-
ными квантами, возникающими при распаде ^{142}Pm , была применена
описанная в работе /9/ техника.

3. Результаты измерения

3.1. Распад изотопов ^{140}Sm и ^{141}Sm

Гамма-спектр самариевой фракции, измеренный на Ge(Li) -детек-
торе, изображен на рис. 1. Энергии и относительные интенсивности гам-
ма-переходов, а также их идентификация приведены в таблице 1. Для
сравнения здесь также приводятся результаты измерения гамма-спектра
с помощью сцинтилляционной техники в недавно опубликованных рабо-
тах /10,11/ .

Таблица 1. Результаты измерения γ спектра ^{141m}Sm

Работа /9/ E _γ	I _γ	Наша работа		Примечание
		E _γ	I _γ	
195 ± 5	100	196,5 ± 0,5	100	
430 ± 5	38 ± 2	432,0 ± 0,5	44 ± 5	
511	130 ± 10	511		
		539,0 ± 0,5	9 ± 1	
		552,8 ± 0,7		$^{141m}\text{Sm} + ^{142}\text{Pm}$
		578 ± 1	≤ 1	
		608,0 ± 0,7	1,7 ± 0,4	
		621,0 ± 0,7	слабая	
		628,7 ± 0,7	3,0 ± 0,5	
		640,5 ± 0,7	2	$^{141m}\text{Sm} + ^{142}\text{Pm}$
		669 ± 1	слабая	
		677,8 ± 0,7	≤ 1	
		684,5 ± 0,5	8,5 ± 1,0	
		693 ± 1	≤ 1	
		703 ± 1	≤ 1	
		715 ± 1	слабая	
		726,0 ± 0,5	1,6 ± 0,3	
		747 ± 1	2 ± 0,5	
		763,0 ± 0,7	3 ± 0,6	$1786 - 2 \text{ m}_0 \text{ e}^2$
		772 ± 2	1,5	$^{140}\text{s Pm}$?
780 ± 5	38 ± 5	777,0 ± 0,5	32 ± 5	
		785,8 ± 0,5	8 ± 2	
		805,6 ± 0,5	3,9 ± 0,8	
		836,7 ± 0,5	4,2 ± 0,8	
850 ± 20	15 ± 5	858,5 ± 0,5	1,9 ± 0,5	двойная?

Работа	E_{γ}	/9/		Примечание
		Наша работа	I_{γ}	
		874,7+0,7	1,7+0,6	
		886+1		^{141}Pm
		897+2	$\lesssim 1$	
		911,9+0,5	10+1	
		924,3+0,7	3,1+0,5	
		928+1		
		~952+957	2,6+0,5	сложная
		983,5+0,5	8,5+0,8	
1000+20	17+3	1009,4+0,7	3+0,3	
1050+20	7+2	1050+1	2,8+0,4	$^{141}\text{Sm} + ^{143}\text{Sm}$
		1056,6+0,7		
		1074+1	≤ 1	
		1092+1	2+0,6	
		1097+1		
		1109+1	1,7+0,6	
		1117,6+0,7	4,3+0,5	
		1138+1	2,5+0,6	
1140+10	11+1	1145,0+0,7	13+1,5	
		1223,5+0,7		^{141}Pm
		1227+2		
		1275+1	2+0,6	$^{141m}\text{Sm} + ^{141}\text{Nd?}$
		1293+1	1,2+0,4	
		1346+1		^{141}Pm
		1395+1	1+0,4	
		1403+1	0,9+0,4	
		1463+1	2,3+0,5	
1480+5	17+3	1490,3+0,7	15,5+1,0	

Работа /9/		Наша работа		Примечание
E_{γ}	I_{γ}	E_{γ}	I_{γ}	
		1514+1	0,8+0,2	
		1530+1	1,8+0,5	
		1576,5		^{142}Pm
1620+10	6+2	1598+2	2,8+0,5	двойная
		1766+2	1+0,3	
1770+10	15+2	1786,0+0,5	15,5+1,0	
		1881+2	0,7	
		1898+2	0,7	
		2036+2	1,0+0,3	
		2072+3	0,5	

x/

Переходы с маленькой интенсивностью могут возникать при распаде ^{141}Sm или ^{140}Sm .

Для точного определения периода полураспада изотопа ^{141}Sm на $\text{NaJ}(\text{Tl})$ -детекторе измерялся спад интенсивности гамма-перехода с энергией 196,5 кэв (рис. 2). Период полураспада был определен на ЭВМ - Минск-2 с помощью программы для разложения экспоненциальных функций x^t , он оказался равным $(22,5 \pm 0,5)$ мин. Под пиком с энергией 196,5 кэв находится комптоновское распределение аннигиляционных квантов, возникающих при распаде цепочки $^{142}\text{Sm} \longrightarrow ^{142}\text{Pm}$ с периодом полураспада 73 мин.

Принадлежность обнаруженных гамма-переходов распаду ^{141}Sm устанавливалась на основании постоянства отношений интенсивностей

x/

Программа была разработана П.Паатеро в Хельсинском университете и переписана для применения на ЭВМ Минск-2 - Х. Эльснером.

этих переходов и интенсивности перехода с энергией 198 кэв в гамма-спектрах, снятых последовательно друг за другом. Кроме того мы определили период полураспада нескольких гамма-переходов измерением спектров подряд в коротких интервалах времени (см. рис. 3). При этом мы нашли гамма-линии с $T_{1/2} = (23 \pm 1)$ мин, (14 ± 1) мин и $T_{1/2} = (11 \pm 1)$ мин (см. рис. 4).

В спектре конверсионных электронов нами были найдены K- и LMN-конверсионные линии γ -переходов с энергиями 196,5 и 432 кэв (рис. 5а,б). Для отношений их интенсивностей были определены следующие значения: $I_{K\ 196,5} / I_{K\ 432} = 5,1 \pm 0,5$; $(K/LMN)_{196,5} = 9 \pm 2$ и $(I_K / I_{LMN})_{432} \approx 10$.

Позитронный спектр фракции самария, измеренный в наших опытах, состоит из двух компонент с граничными энергиями (3900 ± 400) кэв и (4900 ± 400) кэв (см. рис. 6). Компонента с граничной энергией 3900 кэв известна из работы ¹². Она возникает при распаде ¹⁴²Pm. Вторая компонента с граничной энергией 4900 кэв ранее не была известна. Спад ее интенсивности происходит с периодом полураспада $(14,5 \pm 0,5)$ мин (см. рис. 7).

Для измерения совпадений между гамма-переходом с энергией 196,5 кэв и гамма-переходами из энергетического интервала от 350 до 1000 кэв электронный канал был установлен на энергию 196,5 кэв спектра импульсов, полученных с детектора типа NaJ(Tl). Спектры совпадений изображены на рис. 8. Видно, что гамма-переход с энергией 198 кэв совпадает с гамма-переходами 432 и 777 кэв, но не совпадает с аннигиляционными квантами.

Помимо гамма-переходов, интенсивность которых убывает с ростом полураспада 22,5 мин, то есть возникающих при распаде ¹⁴¹Sm, наблюдались еще другие гамма-переходы, спад интенсивности которых происходит быстрее (см. табл.2). Ни один из этих переходов

N

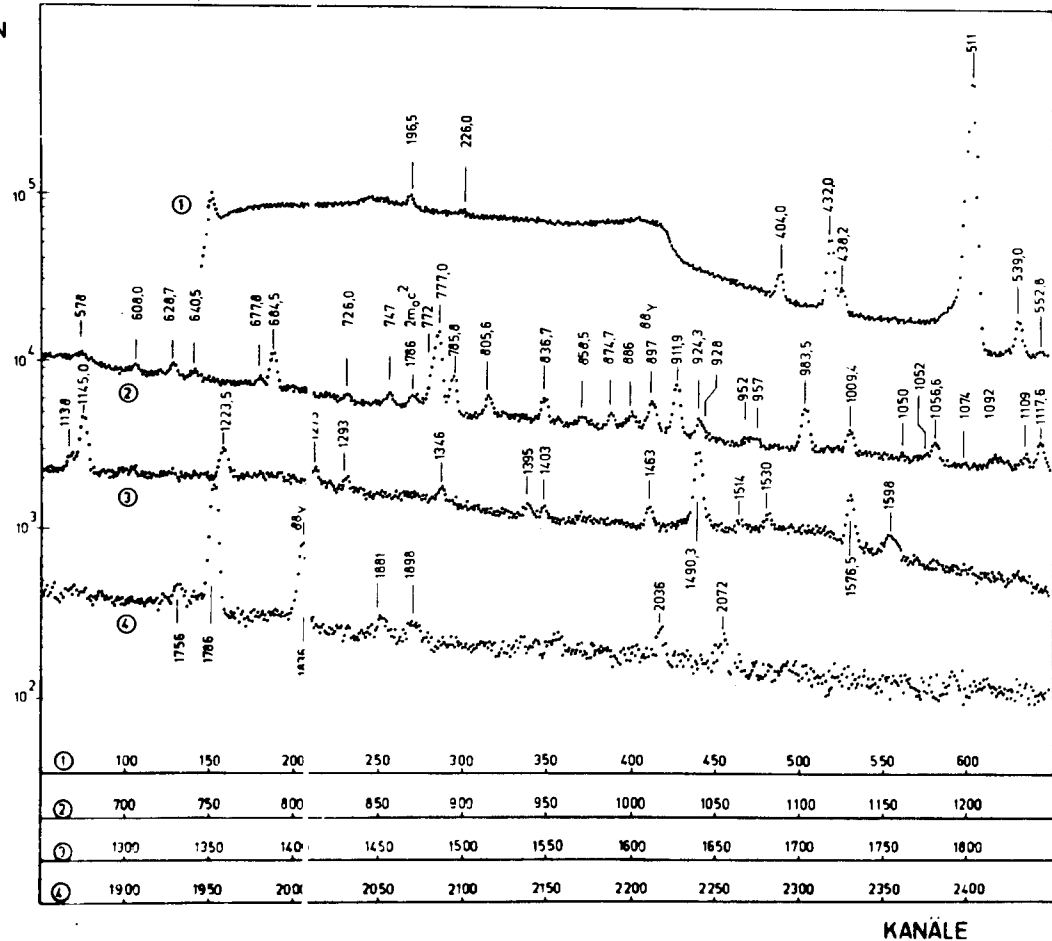


Рис.1. Гамма-спектр фракции самария измерен через 0-45 мин после конца выделения. Сложение последовательных спектров от четырех источников (фильтр: 3 мм Pb + 1мм Cu + 1 мм Cd).

- Площадь под пиком
196 кэВ с фоном
- дес фонда

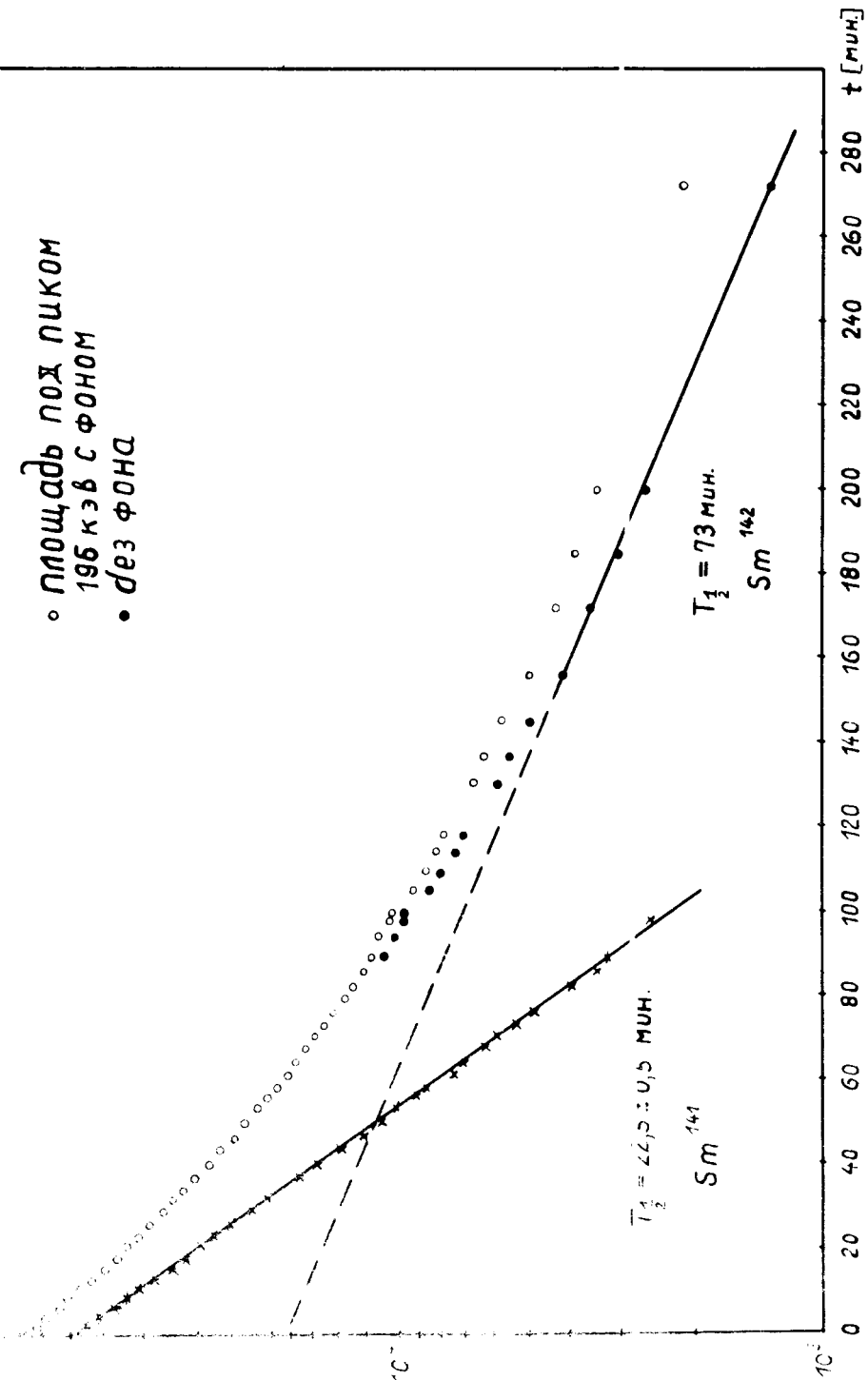


Рис.2. Кривая спада интенсивности гамма-пика с энергией 196,5 кэВ, снятая при помощи спартилационного детектора.

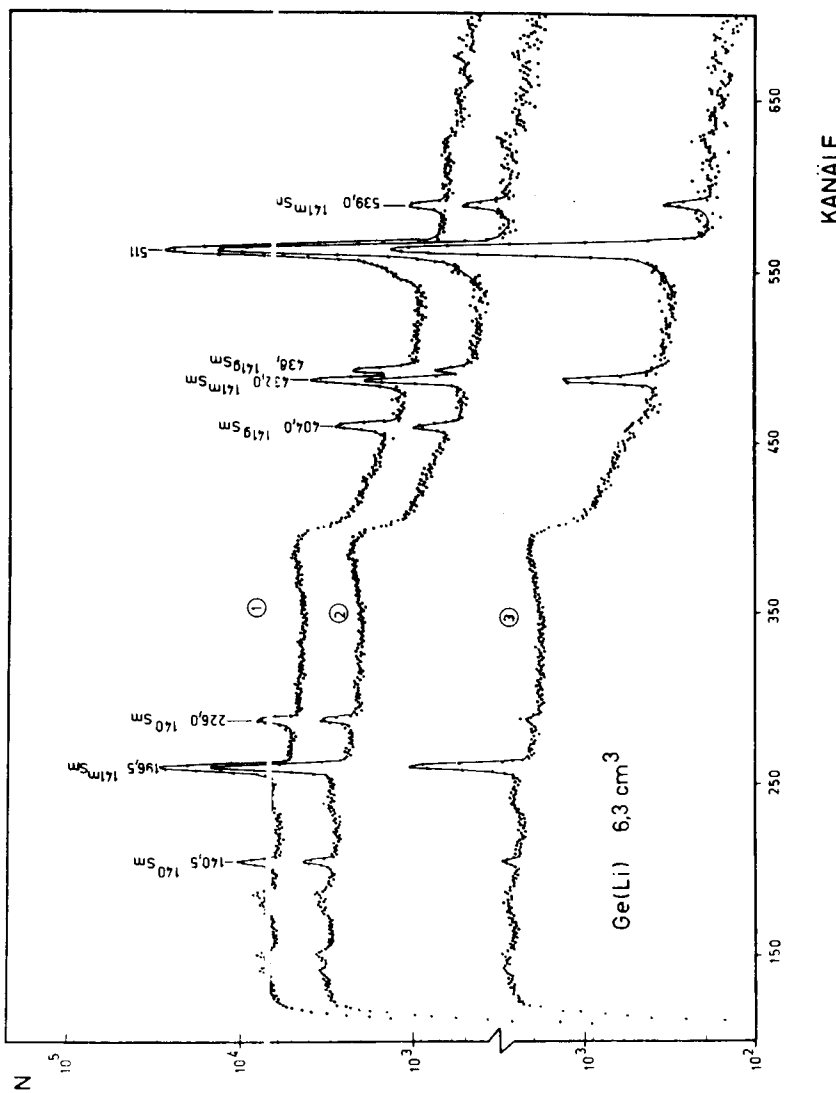


Рис.3. Низкоэнергетическая часть гамма-спектра фракции самария.

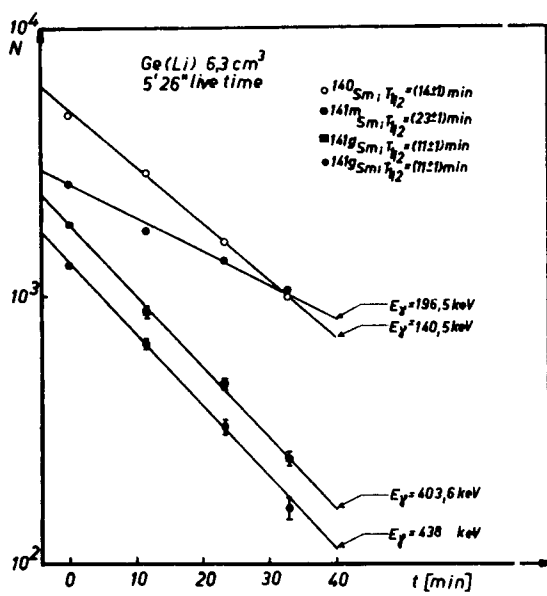


Рис.4. Кривые распада нескольких гамма-пиков, снятые при помощи детектора типа Ge(Li).

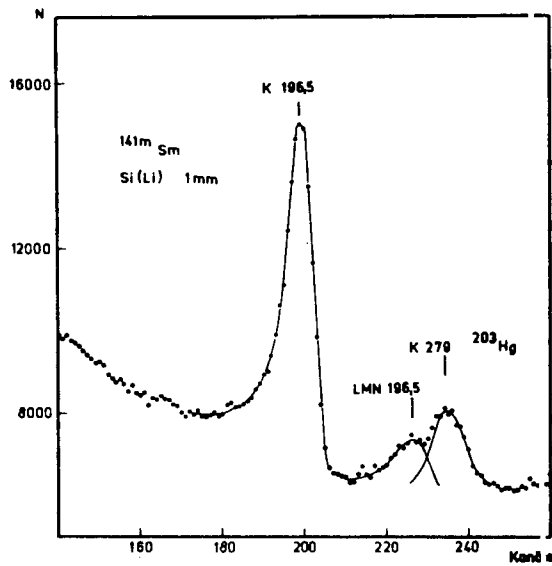


Рис.5. Участок спектра конверсионных электронов ^{141m}Sm с линией K, LMN 196,5 кэв (сложение четырех источников). Добавлялся источник ^{203}Hg для точной калибровки энергетической шкалы.

Таблица 2
Гамма-лучи, возникающие при распаде ^{140}Sm и ^{141}Sm

Работа /11/		Наша работа		Примечание
E_γ (кэв)	I_γ	E_γ (кэв)	I_γ	
137+5	67+20	140,5+0,5	61+6	^{140}Sm
228+5	100	226,0+0,5	100	
-		404,0+0,5	100	
-		438,2+0,5	84+9	$^{141}\text{g Sm}$

не был обнаружен при распаде ^{143}Sm , период полураспада которого составляет 8,7 мин /1/. Обнаруженные гамма-переходы могут возникать при распаде основного состояния ^{141}Sm или в цепочке распада $^{140}\text{Sm} \longrightarrow ^{140}\text{Pm} \longrightarrow ^{140}\text{Nd}$. Как будет показано ниже, период полураспада ^{140}Pm гораздо меньше, чем период полураспада ^{140}Sm , а период полураспада основного состояния ^{141}Sm равен 11 мин. Принадлежность этих гамма-переходов к самариевым изотопам с массовыми числами меньше 140 исключается, так как условия опыта не позволяли обнаруживать излучения этих изотопов, обладающих, очевидно, весьма малыми значениями периода полураспада и достаточно малыми сечениями образования.

3.2. Цепочка распада $^{142}\text{Sm} \longrightarrow ^{142}\text{Pm} \longrightarrow ^{142}\text{Nd}$

В гамма-спектре самариевой фракции наблюдается гамма-переход с энергией (1576+5) кэв, интенсивность которого падает с периодом полураспада 73 мин. Принадлежность этого перехода к распаду ^{142}Pm мы установили с помощью проточного метода /8/.

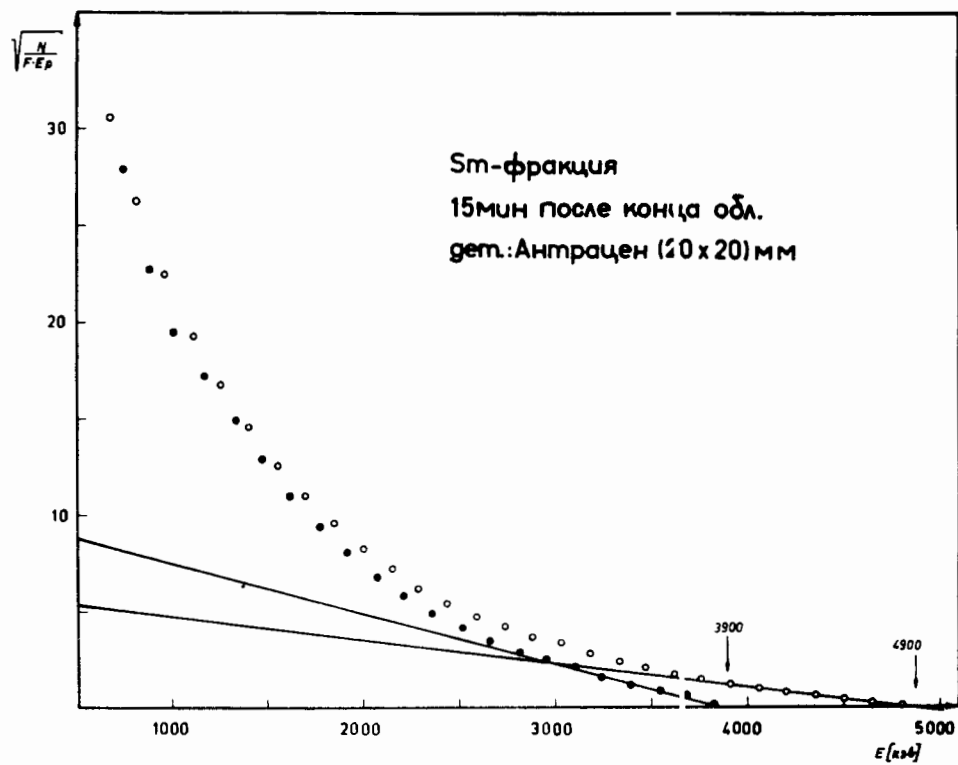


Рис.6. Спектр позитронов фракции самария, снятый спустя 0–5 мин после конца выделения.

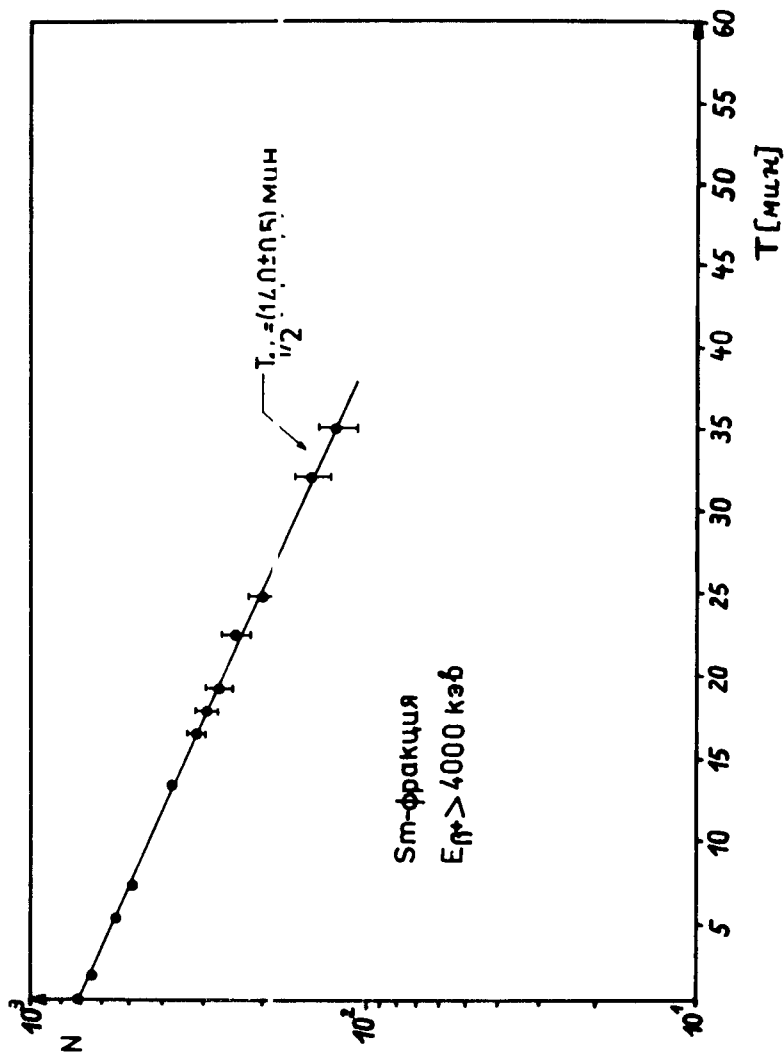


Рис.7. Спад интенсивности позитронов с энергией $E > 4000$ кэВ, снятый при помощи детектора антрацена.

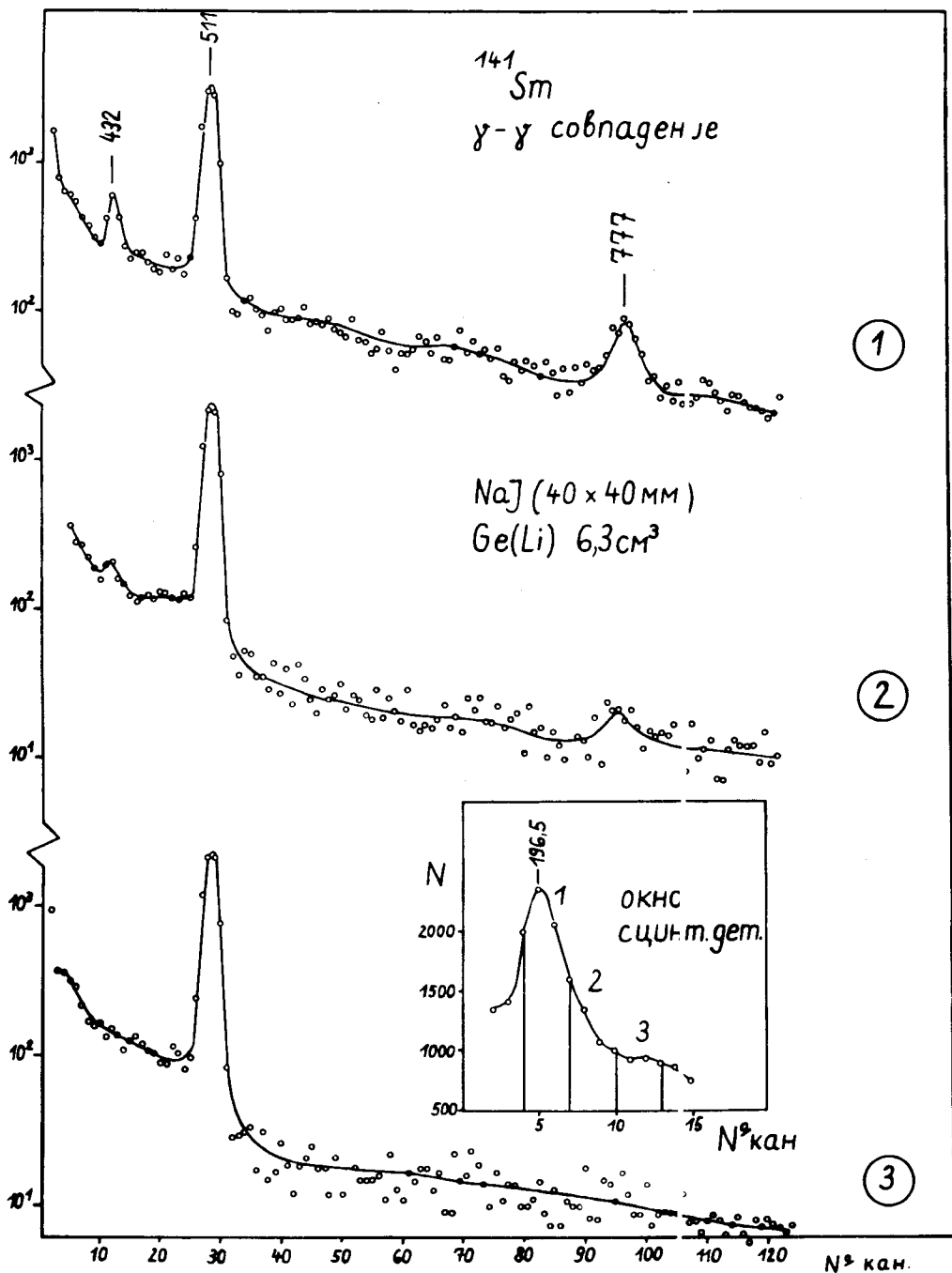


Рис.8. Спектр совпадения гамма-квантов с энергией 196,5 кэв с гамма-квантами диапазона 430-900 кэв.

Чтобы ответить на вопрос, идет ли β^+ -распад на уровень с энергией 1576,5 кэв, мы измеряли тройные совпадения между гамма-излучением самарийевой фракции и аннигиляционными квантами. В спектре тройных совпадений явно проявляется пик при энергии ≈ 1575 кэв (рис.9).

4. Обсуждение результатов

4.1. Распад ядер в цепочке $^{140}_{62}\text{Sm}_{78} \rightarrow ^{140}_{62}\text{Pm}_{79} \rightarrow ^{140}_{60}\text{Nd}_{80}$

Можно ожидать, что ядерные свойства цепочек $^{140}_{61}\text{Pm}_{79} \rightarrow ^{140}_{60}\text{Nd}_{80}$ и $^{138}_{60}\text{Nd}_{78} \rightarrow ^{138}_{59}\text{Pr}_{79} \rightarrow ^{138}_{58}\text{Ce}_{60}$ похожи, так как входящие в них ядра на каждом этапе распада имеют одинаковые числа нейтронов, а 62-58-й протоны заполняют один и тот же уровень $1g\ 7/2^-$. Поэтому следовало думать, что у $^{140}_{61}\text{Pm}_{79}$, подобно $^{138}_{59}\text{Pr}_{79}$, существуют два долгоживущих состояния. Основное состояние с $I^\pi = 1^+$ (конфигурация $[p(d5/2), n_1(d3/2)]_{1+}$) должно испытывать β^+ -распад на основное состояние $^{140}_{60}\text{Nd}_{80}$ с малым значением $\log ft$, а изомерное (конфигурация $[p(d5/2), n_1(h11/2)]_{1-}$) распадается на известный изомерный уровень $^{140}_{60}\text{Nd}_{80}$ с $E = 2216$ кэв и $I^\pi = 7^-$ (конфигурация $[n_1(d3/2), n_2(h11/2)]_7$).

В работе 140 был обнаружен изотоп $^{140}_{61}\text{Pm}_{79}$ с $T_{1/2} = (6 \pm 1)$ мин, распадающийся на изомерное состояние $^{140}_{60}\text{Nd}$ с $I^\pi = 7^-$. Вследствие этого и вследствие результатов наших измерений найденное состояние $^{140}_{61}\text{Pm}$ следует отождествить с ожидаемым изомерным состоянием конфигурации $[p(d5/2), n_1(h11/2)]_7$.

Как отмечалось в предыдущем параграфе, мы во фракции самария обнаружили позитронный спектр с $T_{1/2} = (14,0 \pm 0,5)$ мин и $E_{\beta^+} = (4900 \pm 400)$ кэв (что соответствует полной энергии распада $Q_{\beta^+} = 5900$ кэв). В табл. 3 приведены оценки энергии распада для изотопов

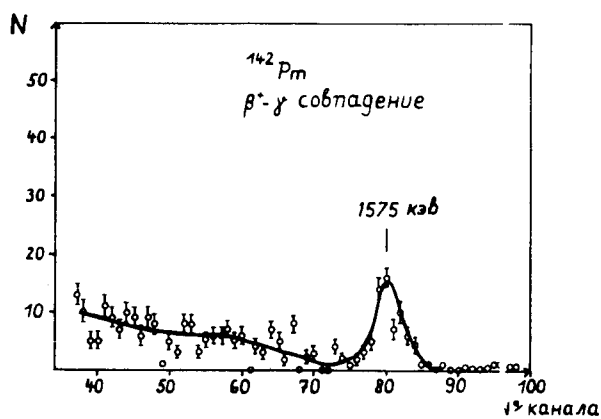


Рис.9. Спектр $\gamma - \gamma$ -совпадений ^{142}Pm , снятый на установке, которая описана в работе /9/.

Таблица 3

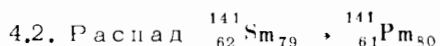
Автор	Изотоп	$Q\beta^+$	^{140}Sm	$Q\beta^+$	^{140}Pm
Камерон		3769 кэв		7083 кэв	
Леви		-		6223 кэв	
Сегер		3345 кэв		6194 кэв	
Драницына		3818 кэв		7109 кэв	

^{140}Sm и ^{140}Pm /15-18/. Сопоставляя данные этой таблицы с экспериментальными значениями $E_{\beta^+} = 4900$ кэв, легко видеть, что позитроны с $E_{\beta^+} = (4900 \pm 400)$ кэв могут возникать только при бета-распаде основного состояния $^{140}\text{Pm}_{79}$ с $I^\pi = 1^+$ на основное состояние четно-четного ядра $^{140}\text{Nd}_{80}$. Экспериментальное значение E_{β^+} и предположение, что $\log ft \approx 4,5$ позволяют оценить ожидаемое значение периода полураспада основного состояния ^{140}Pm $T_{1/2} \approx 10$ сек. Недавно найденное экспериментальное значение $(9,2 \pm 0,2)$ сек /11/ подтверждает наше предположение о спине ^{140}Pm $I^\pi = 1^+$.

Теперь о квантовых характеристиках изомерного состояния ^{140}Pm , распадающегося на состояние ^{140}Nd с конфигурацией $[n_1(2d3/2), n_2(1h11/2)]$. По оценке значения $\log ft$, верхний предел которого 5,3, можно сделать заключение о разрешенном переходе типа Гамова-Теллера. Так как эти переходы связывают одночастичные состояния спин-орбитально-го дублета $j=1 \pm 1/2 \rightarrow j=1 \mp 1/2$, то здесь речь может идти только о переходе типа $p(2d5/2) \rightarrow n(2d3/2)$, так как он встречается при распаде соседнего нечетного ядра ^{141}Pm . Спин и четность изомерного состояния ^{140m}Pm с конфигурацией $[p(2d5/2), n(1h11/2)]$ равны 8⁺, как можно определить по правилам, сформулированным в работе /19/.

При бета-распаде типа $[p(2d5/2), (1h11/2)] \rightarrow [n_1(d3/2), n_2(1h11/2)]$ исходное состояние имеет из возможных 6⁻, 7⁻, 8⁻ характеристики 8⁻, когда значение $\log ft$ совпадает со значением $\log ft$ бета-распада соседнего нечетного ядра типа $p(2d5/2) \rightarrow n(2d3/2)$.

На рис. 10 представлена схема распада цепочек с массовыми числами 140 и 138^{/20/}. Сравнивая их, можно убедиться в хорошем совпадении ряда свойств этих цепочек.



Успех предположения о существовании аналогичных свойств цепочек ядер с $A = 140$ и 138 позволяет надеяться, что такая же аналогия может быть проведена между двумя цепочками распадов ядер $^{141}_{62} Sm_{79} \rightarrow ^{141}_{61} Pm_{50}$ и $^{139}_{60} Nd_{79} \rightarrow ^{139}_{59} Pr_{50}$. Здесь, также исходные и конечные состояния ядер содержат одинаковое число нейтронов $N = 79$ и 80 , и 61-й протон находится в основном состоянии на одном и том же уровне $2d5/2$. (Для ^{141}Pm этот вывод следует из разрешенного характера его β^+ -распада с $\log ft = 5,3$ на основное состояние $^{141}_{60} Nd_{81}$ типа $2d3/2$).

При β^+ -распаде изомерного состояния $^{139}_{60} Nd_{71}$ с $I^\pi = 11/2^-$ ($1h11/2$) в ядре $^{139}_{59} Pr_{50}$ возбуждаются уровни 114 кэв ($1g7/2$) и 822 кэв ($1h11/2$)^{/21/}. Наши данные об интенсивностях гамма-переходов в спектре ^{141}Sm и гамма-гамма-совпадениях позволяют фиксировать положение интенсивно возбуждающихся нижних уровней $^{141}_{61} Pm_{50}$ 196,5 и 628,5 кэв. Систематика уровней нечетных ядер с $N = 80$ указывает, что первый из них – типа $1g7/2$ – аналог уровня ^{139}Pr 114 кэв (см. рис. 11).

Из данных об относительных интенсивностях К-конверсионных линий гамма-переходов 432,0 кэв и 196,5 кэв, полагая, что по аналогии с другими нечетными ядрами с $N = 80$ переход $g7/2 - d5/2$ 196,5 кэв

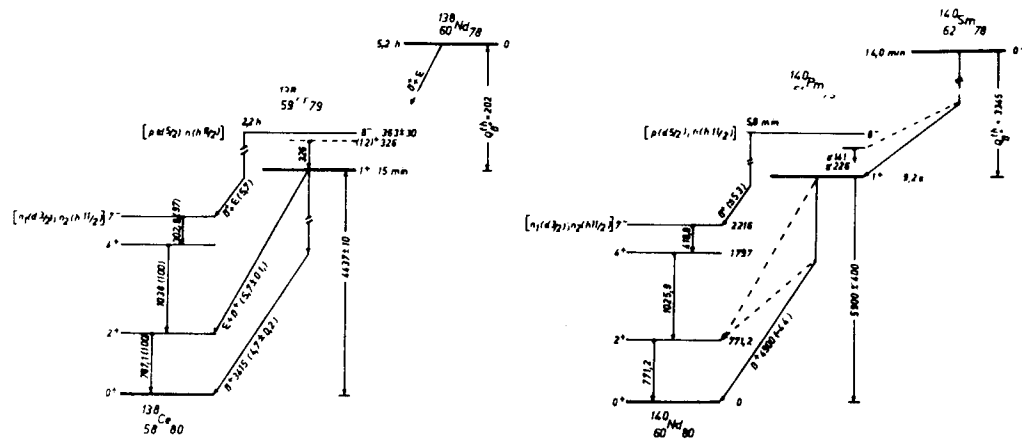


Рис.10. Схемы распада цепочек с $A = 140$ и $A = 138$.

имеет мультипольность $M1$ ($a_k = 0,2^{/22/}$), легко найти для гамма-перехода 432,0 кэв $a_k = (9 \pm 3) \cdot 10^{-2}$. Из табл. 4 видно, что это значение a_k скорее всего указывает на мультипольность $M2$. Тем самым можно считать установленным, что уровень 628,5 кэв имеет $I^\pi = 11/2^+$ ($1h\ 11/2$) и является аналогом уровня $^{139}_{59} Pr$ 822 кэв.

Таблица 4

E_γ (кэв)	a_k ($M1$)	a_k ($E1$)	a_k ($M2$)	a_k ($E1$)	a_k ($E3$)
432	$2,5 \cdot 10^{-2}$	$5,6 \cdot 10^{-3}$	$8,6 \cdot 10^{-2}$	$2,2 \cdot 10^{-1}$	$4 \cdot 10^{-2}$

Так как нижние уровни в ядрах $^{137} La$, $^{139} Pr$ и $^{141} Pm$ интенсивно возбуждаются при β^+ -распаде, следует думать, что сходны и состояния ядер $^{137}_{58} Ce_{79}$, $^{139}_{60} Nd_{79}$ и $^{141}_{62} Sm_{79}$, испытывающие β^+ -распад. Поскольку первые два из них являются изомерными состояниями типа $h\ 11/2^-$, мы приходим к важному выводу, что наблюдаемое нами состояние $^{141} Sm$ с $T_{1/2} = 22,5$ мин также представляет собой изомерное состояние типа $h_{11/2^-}$.

Мы наблюдали совпадение весьма интенсивной гамма-линии 777 кэв с гамма-квантами 196,5 кэв, и это позволяет надежно фиксировать положение еще одного уровня $^{141} Pm$ с большим спином — 973,5 кэв. Мы полагаем, что этот уровень является аналогом уровня $^{139} Pr$ 852 кэв, который возбуждается при бета-распаде изомера $^{139} Nd$, связанныго гамма-переходом только с уровнем 114 кэв $/21/$.

В работе $/23/$ найдено, что уровень $^{139} Pr$ 852 кэв имеет $T_{1/2} = 40$ нсек. Такое значение $T_{1/2}$ проще всего может быть понятно, если мультипольность гамма-перехода 1738 кэв типа $E1$, $E1+M2$ или $M2$, так как задержка $F(E1) \approx 10^7$, типичная для $E1$ -переходов, а $F(M2) \approx 10$ -типичная для $M2$ -переходов. В этом случае уровень 852 кэв

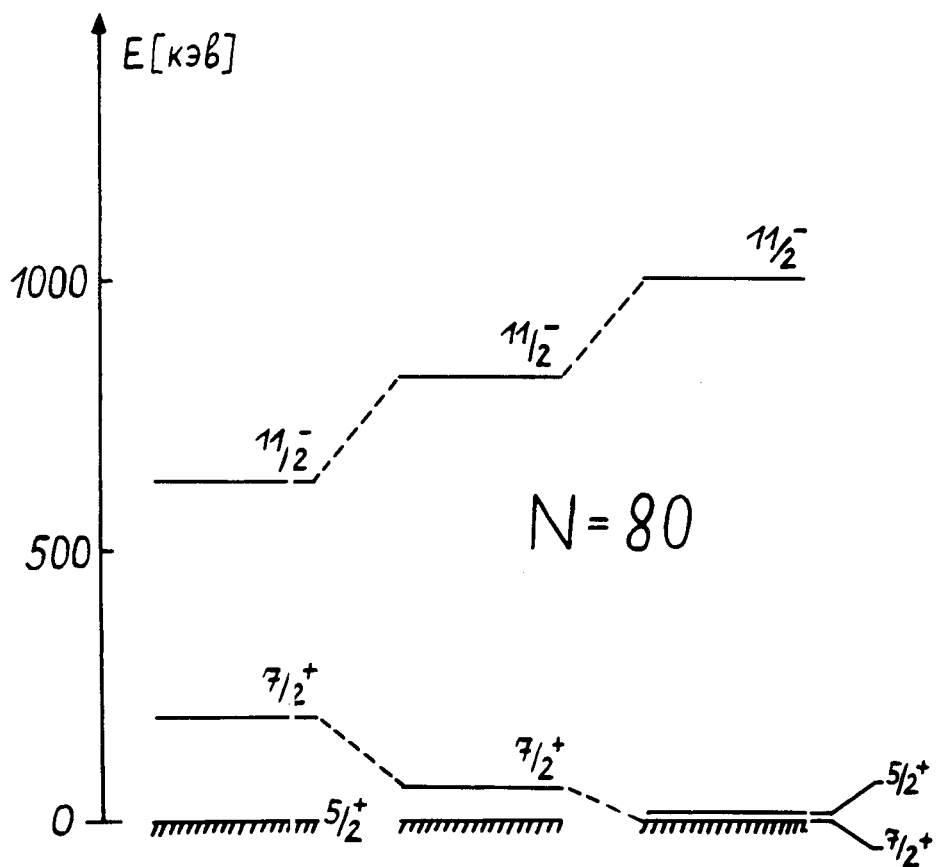


Рис.11. Систематика уровней с $I^\pi = 5/2^+, 7/2^+$ и $11/2^-$ в изотонах с $N = 80$.

в ^{139}Pr и соответственно уровень 973,5 кэв в ^{141}Pm имеют спин и четность $9/2^-$ или $11/2^-$. Не исключено, однако, что найденное в ^{139}Pr значение $T_{1/2} = 40$ нсек относится не к уровню ^{139}Pr 852 кэв, а к уровню ^{139}Pr 822 кэв. Действительно, из данных о значениях $T_{1/2}$ аналогичных изомерных уровней $h\ 11/2$ в ядрах $^{147, 149}\text{Eu}$ вытекает, что для перехода $h\ 11/2 \rightarrow g\ 7/2$ с энергией 706 кэв $T_{1/2} (M2) \approx 40$ нсек (если принять, что матричные элементы переходов в ядрах $^{139}_{59}\text{Pr}$ и $^{147, 149}_{63}\text{Eu}$ одинаковы). В этом случае, конечно, отпадает приведенное выше заключение о квантовых характеристиках уровней 852 кэв в ^{139}Pr и 973,5 кэв в ^{141}Pm .

Исходя из указанных уровней ^{141}Pm , можно на основе баланса энергий гамма-переходов ввести еще несколько предположительных уровней (см. рис. 12).

Рассмотрим теперь особенности β^+ -распада изомерного состояния $^{141}_{62}\text{Sm}_{79}$ с конфигурацией $[p(d\ 5/2)^{-2}, n_1(d\ 3/2)^{-2}, n_2(h\ 11/2)^{-1}]$. Бета-распад этого состояния может идти на разные уровни дочернего ядра, однако, самый вероятный β^+ -переход (с значением $\log ft \approx 5,5$) связан с одночастичным бета-превращением $j_p = l \pm 1/2 \rightarrow j_n = l \mp 1/2$, в данном случае $p(d\ 5/2) \rightarrow n(d\ 3/2)$. Поэтому конфигурация состояния, на которое идет бета-переход с минимальным значением $\log ft \approx 5,5$, однозначно определяется как $[p(d\ 5/2)^{-3}, n_1(d\ 3/2)^{-1}, n_2(h\ 11/2)^{-1}]$, и, следовательно, это состояние включает три неспаренных нуклона – является трехчастичным типа $p\ 2n [p(d\ 5/2)^{-2}, n_1(d\ 3/2)^{-2}, n_2(h\ 11/2)^{-1}]$.

Состояние с низким значением $\log ft = 5,3$ наблюдается при β^+ -распаде изомера ^{139}Nd /21/ при энергии 1834 кэв в ядрах ^{139}Pr . Этот факт указывает на то, что уровень 1834 кэв является трехчастичным с $I^\pi = 9/2^-$ /24/ (самый нижний уровень трехчастичного мультиплета по правилам, сформулированным в работе /25/, должен иметь спин и четность $I^\pi = 9/2^-$). Можно ожидать, что в ядре ^{141}Pm соот-

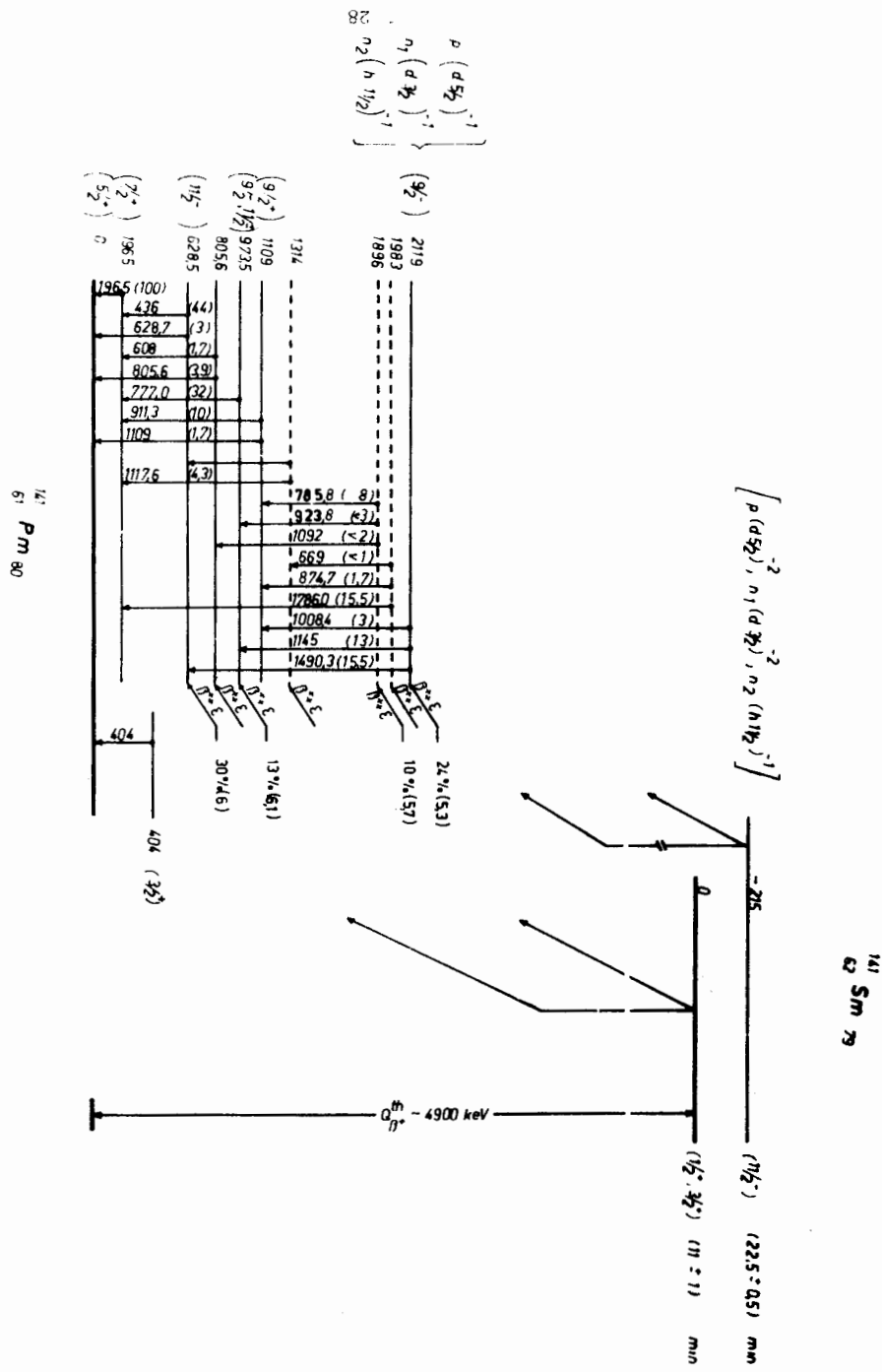


Рис.12. Схема распада $^{141}_{\Lambda} Sm$.

ветственный уровень имеет тоже энергию около 2000 кэв. В предложенной схеме имеется несколько уровней с $E \approx 2000$ кэв (1898 кэв?, 1982 кэв ?, 2119 кэв), которые заселяются β^+ -переходами с $\log ft < 6$. По-видимому, один из этих уровней (или несколько) можно отождествить с ожидаемым трехчастичным состоянием. Наиболее подходящим для этого является уровень 2119 кэв, т.е. по интенсивности гамма-лучей β^+ -переход на него самый интенсивный и характеризуется наименьшим значением $\log ft \approx 5,3$.

Трехчастичные уровни нечетных ядер $N = 80$ являются аналогами двухчастичных нейтронных уровней с $I^\pi = 7^- [n_1(d3/2) n_2(h11/2)]$ четно-четных ядер с $N = 81$ (и, в частности, приведенный на рис. 10 уровень 2215 кэв в ядре $^{140}_{60}Nd_{80}$) и отличаются от них только наличием неспаренного протона в невозбужденном состоянии $p(d5/2)$. Благодаря взаимодействию протона $p(d5/2)$ и нейтрона $n(d3/2)$ можно ожидать, что энергия трехчастичных уровней с $I^\pi = 9/2^-$, в которых их спины антипараллельны, меньше, чем энергия соответствующих двухнейтронных уровней с $I^\pi = 7^-$.

В табл. 5 приведены данные о соответствующих уровнях. Видно, что это ожидание хорошо выполняется.

Таблица 5

Ядро	(кэв)	Ядро	(кэв)	Литер.
$^{140}_{60}Nd_{80}$	2216	$^{141}_{61}Pm_{80}$	(2119)	
$^{138}_{58}Ce_{80}$	2128	$^{139}_{59}Pr_{80}$	1834	/21,24/
$^{136}_{56}Ba_{80}$	2035	$^{137}_{57}La_{80}$	-	
$^{134}_{54}Xe_{80}$	1963	$^{135}_{55}Cs_{80}$	1621 ^{x/}	/24/
$^{132}_{52}Te_{80}$	-	$^{133}_{53}J_{80}$	1465	/24/

^{x/} Конфигурация трехчастичного уровня 1621 кэв $p(g7/2), n_1(d3/2), n_2(h11/2)$.

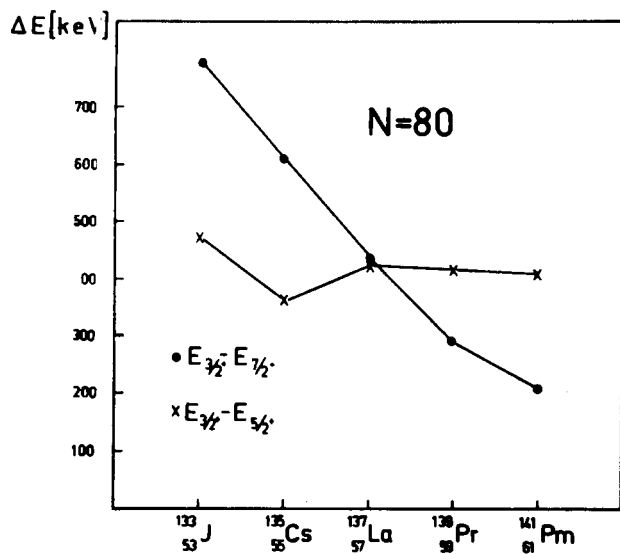


Рис.13. Систематика уровней с $I^{\pi} = 3/2^+, 5/2^+$ и $7/2^+$ в изотонах с $N = 80$.

Основное состояние $^{141}_{62}\text{Sm}$ может иметь спин и четность $I^\pi = +1/2^+$ или $3/2^+$ [$n(3s1/2)$ или $n(2d3/2)$] ^{/26/}. В первом случае оно должно быть связано с основным состоянием $^{141}\text{Pr}-2d5/2$ разрешенным β^+ -переходом с $Q_{\beta^+}^{+th} 5343, 4680$ или 4940 кэв ^{/15-17/}. Если принять вытекающую из систематики для β^+ -переходов типа $p(d5/2) \rightarrow n(d3/2)$ величину $\log ft \approx 5,5$, то период полураспада основного состояния $^{141}_{62}\text{Sm}$ составляет $T_{1/2} \approx 10$ мин.

В гамма-спектре фракции самария мы нашли два перехода, период полураспада которых явно меньше 14 мин ($E_\gamma = 404,0$ и $438,2$ кэв см. рис. 3 и 4) и составляет (11 ± 1) мин. Гамма-линии с такими энергиями и с таким периодом полураспада во фракции самария пока не были известны. Поскольку время жизни изотопов самария с $A < 140$ намного меньше 11 мин ^{/11/} и их сечение образования при наших условиях опытов мало, мы приписываем эти переходы распаду ядра неизвестного основного состояния ^{141}Sm .

Из систематики величины энергетического интервала между уровнями $3/2^+$, $7/2^+$ и $5/2^+$ в изотонах с $N=80$ следует ожидать уровень $3/2^+$ в ядре ^{141}Pr при энергии $E \approx 400$ кэв (см. рис. 13). Поэтому мы думаем, что у 404 кэв направлен с первого уровня $3/2^+$ в основное состояние ^{141}Pr .

В заключение авторы считают своим приятным долгом поблагодарить коллектив измерительного центра ЛЯП за обеспечение беспрерывной работы анализаторной техники и В.А. Быстрова за отличное выполнение механических работ.

Л и т е р а т у р а

1. Э. Херрманн, Г. Пфреффер, Д. Христов. Препринт СИЯИ Р-2647, Дубна 1966.

2. Р. Арльт, Г. Музиоль, Г. Пфреppер, Г. Штрусный, Д. Христов. Доклад на X совещании по ядерной спектроскопии нейтронодефицитных изотопов и теории ядра, Дубна 27-30 июня 1967.
3. Р. Арльт, Г. Байер, Г. Музиоль, Л.К. Пекер, Г. Штрусный. Препринт ОИЯИ Р6-4246, Дубна 1969;
4. Г.Ю. Байер, В.А. Халкин, Х. Гроссе-Рюкен, Г. Пфреppер. Препринт ОИЯИ Р12-3887, Дубна 1968; препринт ОИЯИ Р12-3886, Дубна 1968.
5. Р. Арльт, В.А. Еыстров, Г. Музиоль, П. Паатеро, Г. Штрусный. Препринт ОИЯИ 13-3769, Дубна 1968.
6. Р. Арльт, А.И. Калинин, Г. Музиоль, Г. Штрусный. Препринт ОИЯИ 13-3769, Дубна 1968.
7. А.П. Кустов, А.Ф. Синаев, Н.А. Чистов. Препринт ОИЯИ 10-4170, Дубна 1968.
8. Р. Арльт, С. Калякова, А. Калинин, В. Моисеева, Г. Музиоль, М. Омельяненко, Ю. Прокофьев, Б. Семенов, А. Синаев, Н. Чистов, Х. Штрусный, Г. Эльснер. Препринт ОИЯИ Р6-3773, Дубна 1968.
9. К.Я. Громов, Ж. Желев, Кун Сян-цзин, Г. Музиоль, Хань Шу-жунь. Изв. АН СССР, сер. физ., 29 (1965).
10. H.J. Bleil, H. Minzel, G. Pfennig. Radio Chimia Acta 9, 173(1968).
11. H.J. Bleil, H. Minzel, G. Pfennig. Radio Chimia Acta 10 (1968).
12. T.V.Marshall. UCRL - 8740 (1960).
13. D.De Frenne, K.Heyde, L.Dorikens-Van-Praet, M.Dorikens and J. Demynck. NPH A110, 273 (1968).
14. Aten Jr. A.H.W. and Kaptein Johanna C. Physica 32, 1159 (1966).
15. A.G.W. Cameron. AECL - 434 (1957).
16. J.Ridell. AECL - 339 (1957).
17. P.A. Seeger. NPH 25, 1 (1961).
18. Г.Ф. Драницына. Материалы IV Совещания по нейтр. изотопам, Дубна 1962.

19. К.Ф. Александер. Препринт ОИЯИ Р6-3785, Дубна 1968.
20. Б.С. Бутцев, Ж.Т. Желев, В.Г. Калинников, А.В. Кудрявцева, Я. Липпак, Ф. Молнар, У. Назаров, Я. Урбанец. Препринт ОИЯИ Р6-3561, Дубна 1967.
21. K.Hesse. *Ztschr.f. Naturforschung* Bd 23a, 1668 (1968).
22. Л.А. Слив, И.М. Банд. В книге "Гамма-лучи" Москва-Ленинград 1961.
23. P.B. Beery, Wm.C.Mc. Harris, J.J.Kolata, W.H. Kelly. *Bull. Am. Phys. Society* 13, 721 (1968).
24. Л.К. Пекер. Материалы четвертой зимней школы по теории ядра и физике высоких энергий. ФТП (1969).
25. Л.К. Пекер. В книге "Структура сложных ядер", стр. 333.
26. Р. Арльт, Г. Байер, Г. Музиоль, Л.К. Пекер, Г. Иффреппер, Х. Штруссный. Препринт ОИЯИ Р6-4247, Дубна 1969; направлено в Изв. АН СССР, сер. физ.

Рукопись поступила в издательский отдел
14 июля 1969 года.